ЧЕРНАЯ ДЫРА И ТЕМНАЯ МАТЕРИЯ В СИНХРОННОЙ СИСТЕМЕ КООРДИНАТ

B. Э. Мейерович a^*

^а Институт физических проблем им. П. Л. Капицы Российской академии наук 119334, Москва, Россия

> Поступила в редакцию 16 декабря 2022 г., после переработки 16 декабря 2022 г. Принята к публикации 22 декабря 2022 г.

Статическое состояние черной дыры во взаимодействии с темной материей рассмотрено в синхронной системе координат. Также как и в координатах Шварцшильда, в синхронных координатах существует регулярное статическое сферически симметричное решение системы уравнений Эйнштейна и Клейна—Гордона, описывающее состояние материи, предельно сжатой собственным гравитационным полем. Также нет ограничения на массу. Также существуют два гравитационных радиуса, с граничными условиями на которых, решения не являются единственными. В отличие от координат Шварцшильда, в синхронных координатах определитель метрического тензора и компонента $g^{11}\left(r\right)$ не обращаются в нуль на гравитационных радиусах. В синхронных координатах, в отличие от координат Шварцшильда, в сферическом слое между гравитационными радиусами сигнатура метрического тензора не нарушена. В синхронных координатах уравнения Эйнштейна и Клейна—Гордона сводятся к системе второго (а не четвертого) порядка. Решения получены аналитически, так что численных расчетов не потребовалось. Определен гравитационный дефект массы в модели $\lambda\psi^4$. Полная масса материи оказывается втрое больше массы Шварцшильда, определяемой удаленным наблюдателем при сопоставлении с гравитацией Ньютона.

DOI: 10.31857/S004445102305005X

EDN: BDKUFJ

1. ВВЕДЕНИЕ. В КООРДИНАТАХ ШВАРЦШИЛЬДА

При рассмотрении гравитационного поля, создаваемого сферически симметричной материей, принято исходить из метрики Шварцшильда [1]:

$$ds^{2} = g_{ik}dx^{i}dx^{k} =$$

$$= e^{2F_{0}} (dx^{0})^{2} - e^{2F_{1}}dr^{2} - r^{2} (d\theta^{2} + \sin^{2}\theta d\varphi^{2}). \quad (1)$$

В этих координатах на расстоянии от центра

$$\rho\left(r\right) = \int_{0}^{r} e^{F_{1}(x)} dx$$

длина окружности в плоскости $\theta=\pi/2$ равна $2\pi r$. Экспоненциальное представление $g_{11}=-e^{2F_1}$ и

 $g_{00} = e^{2F_0}$ фиксирует знаки компонент метрического тензора $g_{00} > 0$, $g_{11} < 0$ и детерминанта $g = \det g_{ik} < 0$. Мы все строго следовали гипотезе Эйнштейна. Вот цитата из его статьи [2]: "Если окажется, что в каком-нибудь месте четрехмерного континуума $\sqrt{-g}$ обращается в нуль, то это будет означать, что в этом месте конечному координатному объему соответствует бесконечно малый естественный объем. Будем считать, что этого ни- \mathbf{r} де нет. В таком случае g не может менять свой знак; мы примем, в соответствии со специальной теорией относительности, что g всегда имеет конечное и отрицательное значение. Это допущение является некоторой гипотезой о физической природе рассматриваемого континуума и в то же время правилом, касающимся выбора системы координат. "Конец цитаты.

Обращение детерминанта метрического тензора в нуль не обязательно связано с наличием физической особенности. Это может быть спецификой выбранной системы отсчета. Например, в плоской сферической метрике

$$ds^{2} = \left(dx^{0}\right)^{2} - dr^{2} - r^{2}\left(d\theta^{2} + \sin^{2}\theta d\varphi^{2}\right)$$

^{*} E-mail: meierovich@mail.ru

определитель

$$\det g_{ik} = -r^4 \sin^2 \theta$$

обращается в нуль в центре r=0 и на полюсах $\theta=0$ и $\theta=\pi$. А в декартовых координатах везде $\det g_{ik}=-1$, так что физической особенности ни в центре, ни на полюсах нет.

Полагая в метрике (1)

$$q_{11} = -e^{2F_1}$$

мы фиксируем знак компоненты g_{11} . Тем самым, не заботясь о наличии или отсутствии особенности, мы исключаем из рассмотрения возможность $g_{11} > 0$ как якобы нефизическую. При этом система координат оказывается неполной [3–5]. Возникает критическая масса M_{cr} (для нейтронных звезд порядка массы Солнца), так что при $M > M_{cr}$ регулярных статических решений уравнений Эйнштейна не существует [6–8]. Решение Шварцшильда [1]

$$ds^{2} = \left(1 - \frac{r_{g}}{r}\right) \left(dx^{0}\right)^{2} - \frac{dr^{2}}{1 - r_{g}/r} - r^{2} \left(d\theta^{2} + \sin^{2}\theta d\varphi^{2}\right)$$
(2)

не является регулярным в центре r=0, хотя и описывает гравитационное поле в вакууме вдали от сферически симметричной материи независимо от массы

$$M = \frac{c^2}{2k} r_g,$$

наблюдаемой удаленным наблюдателем. При $M < M_{cr}$ метрика (2) асимптотически совпадает с регулярным решением в статье [5] при $r \gg r_a$.

Считается, что объекты с массой больше критической подвержены неограниченному сжатию [9]. Отсутствие в метрике (1) статических решений для объектов с массой больше критической не вяжется с существованием в центре нашей галактики Млечный Путь объекта с массой на 7 порядков больше массы Солнца [10]. Неограниченно сжимающиеся объекты в центрах галактик принято называть черными дырами. Черные дыры в центрах галактик, как и сами галактики, существуют столь же долго, сколько существует Вселенная. Если считать, что сжатие безостановочно, то в центрах галактик мы встречаемся с сингулярностью вопреки гипотезе Эйнштейна, что этого нигде нет. Если учесть, что в процессе коллапса с ростом давления происходят химические реакции превращения нейтронов в более "элементарные частицы", то это может замедлить и даже остановить сжатие. Чтобы найти регулярное статическое решение без ограничения массы, описывающее состояние материи к которому может привести коллапс, пришлось отказаться от фиксирующего знак представления $g_{11} = -e^{2F_1}$. Достаточно ограничиться более слабым условием регулярности: все инварианты метрического тензора конечны. Компоненты метрического тензора g_{ik} и определитель det g_{ik} , а также их знаки, не инвариантны относительно преобразований координат.

При поиске статического решения уравнений Эйнштейна, описывающего то состояние, к которому может привести гравитационный коллапс, естественно считать, что гравитационное взаимодействие является доминирующим, но не нарушающим квантовых свойств материи. То есть бозоны остаются бозонами, а фермионы — фермионами. В соответствии с принципом исключительности Паули, при нулевой температуре в равновесии фермионы поодиночке заполняют все квантовые состояния, начиная от основного и кончая уровнем Ферми, занимаемого последним фермионом. При массе $M < M_{cr}$ в статическом состоянии гравитационное сжатие скомпенсировано упругостью фермионов. При $M > M_{cr}$ упругости фермионов не достаточно чтобы сдержать силу гравитационного сжатия. Для вырожденного релятивистского ферми-газа критическая масса $M_{crf} \sim M_{Pl}^3/m_f^2$ [8]. Масса Планка $M_{Pl} = \sqrt{c\hbar/k} = 2.177 \cdot 10^{-5} \, \text{г}, \, m_f - \text{масса фермиона},$ k — гравитационная постоянная. Для нейтронных звезд (масса нейтрона $m_f = 1.67 \cdot 10^{-24} \Gamma$) критическая масса $M_{crf} \sim 10^{33}\,\mathrm{r}$ — порядка массы Солнца.

Статическое состояние бозонной материи энергетически более предпочтительно, чем фермионной. В отличие от фермионов, все бозоны в равновесии при нулевой температуре находятся в основном состоянии. Это ультра квантовое состояние материи называется конденсатом Бозе-Эйнштейна. В равновесии концентрации частиц, вступающих в реакции превращения одних в другие, зависят от температуры и давления, и не зависят от каналов реакции ([11], §101). Если исходить из современной Стандартной Модели элементарных частиц [12], то в состоянии равновесия доминирующими могут быть массивные Z и W бозоны, скалярный бозон Хиггса, а также бозонные квазичастицы спаренных фермионов (эффект Купера [13]). Волновой функцией конденсата нейтральных бозонов является классическое скалярное поле ([14], §30). Лагранжиан L комплексного скалярного поля ψ имеет вид

$$L = g^{ik} \psi_{,i}^* \psi_{,k} - U(\psi^* \psi).$$

При большой массе конденсата в разложении потенциала

$$U(|\psi|^2) = \left(\frac{mc}{\hbar}\right)^2 |\psi|^2 + \frac{1}{2}\lambda|\psi|^4 + \dots$$
 (3)

основным является первый член — источник гравитации, m — масса покоя бозона. Если в потенциале (3) оставить только первый член разложения, то это значит, что рассматривается конденсат, состоящий из идеального газа невзаимодействующих бозонов. Второй и следующие члены — поправки, учитывающие негравитационные взаимодействия бозонов, включая упругость конденсата. Учет только первых двух членов разложения в потенциале (3) с $\lambda = \text{const}$ — это феноменологическая модель. Ееможно, назвать " $\lambda \psi^4$ ".

Равновесие гравитирующего скалярного поля рассматривалось в ряде работ применительно к черным дырам и гипотетическим бозонным звездам, см. [15–19] и ссылки в них. Как и у фермионов, с ограничением $g_{11}=-e^{2F_1}$ равновесие гравитирующего вырожденного бозе газа существует, только если масса M конденсата меньше критической массы $M_{crb}\sim M_{Pl}^2/m_b$ [20]. Для массивных бозонов Стандартной Модели (с массой покоя m_b около $100~\Gamma$ эВ/ c^2) критическая масса конденсата бозонов $M_{crb}\sim 10^{12}$ г. Это всего лишь порядка миллиона тон.

Я позволил себе проверить, что получится, если отказаться от ограничения $g_{11}=-e^{2F_1}$, фиксирующего знак минус. Оказывается, без этого ограничения статическое решение системы уравнений Эйнштейна и Клейна—Гордона с массой $M>M_{cr}$ существует [21]. В координатах Шварщиильда в этом решении имеют место два реальных гравитационных радиуса. Метрическая компонента $g^{rr}\left(r\right)$ дважды меняет знак: при $r=r_g$ внутри конденсата, и при $r=r_h>r_g$ на его поверхности. В сферическом слое $r_g< r< r_h$ компонента $g^{rr}\left(r\right)>0$, и сигнатурой метрики становится (+,+,-,-).

Из уравнения Эйнштейна ([22], уравнение (100.6))

$$(g^{rr})' + (1 + g^{rr})/r = \kappa r T_0^0$$
 (4)

следует, что если сфера $r=r_h$ является поверхностью конденсата, то есть плотность энергии $\varepsilon\left(r\right)=T_0^0\left(r\right)\neq0$ при $r< r_h$ и $T_0^0\left(r\right)=0$ при $r\geq r_h$,

$$g^{rr}\left(r_{h}\right)=0,$$

$$\frac{dg^{rr}\left(r_{h}\right)}{dr} = -\frac{1}{r_{h}}.$$

Из другого уравнения Эйнштейна ([22], уравнение (100.4))

$$g^{rr} \left(1 - r(\lg g^{00})' \right) + 1 = \kappa r^2 T_r^r$$
 (5)

видно, что поскольку $g^{rr}(r_h) = 0$, давление

$$p(r_h) = -T_r^r(r_h) = -1/\kappa r_h^2$$

не обращается в нуль на поверхности конденсата. Отрицательное давление означает, что гравитационные силы направлены на сжатие газа бозонов, а не на разлет.

На сфере $r=r_h$ черная дыра граничит с темной материей. Наблюдаемые проявления темной материи, такие как кривые вращения галактик, адекватно описываются продольным векторным полем [23]. Ковариантная дивергенция векторного поля — это скаляр, удовлетворяющий уравнению Клейна— Гордона также как и скалярная волновая функция бозе-конденсата, но только с другой массой кванта. Можно пошутить, что дивергенция продольного поля темной материи — это волновая функция бозеконденсата, вывернутая наизнанку. Условие непрерывности давления на границе раздела позволило определить зависимость скорости на плато вращения галактики от массы черной дыры (формула (68) в [21]).

Если в потенциале (3) оставить только первый член разложения (приближение идеального бозегаза без учета упругости), то волновая функция конденсата расходится логарифмически в центре [21]. Регулярное в центре статическое решение системы уравнений Эйнштейна и Клейна—Гордона с массой $M > M_{cr}$ существует в модели $\lambda \psi^4$ при наличии баланса упругости и плотности конденсата [24]. В координатах Шварцшильда система уравнений Эйнштейна и Клейна-Гордона, приведенная к каноническому виду, состоит из четырех уравнений первого порядка, разрешенных относительно производных (уравнения (21)–(24) в работе [24]). Правые части этих уравнений не удовлетворяют условиям теоремы существования и единственности на сферах $r=r_g$ и $r=r_h$, где $g^{rr}=0$. Решение с граничными условиями регулярности в центре r = 0 существует, но оно является единственным только в интервале $0 \le r < r_a$. Решение с граничными условиями на сферах $r = r_q$ и $r = r_h$ не являются единственными. Эта свобода позволяет найти решение с любой массой $M > M_{cr}$, а также обеспечить баланс на границе черной дыры с темной материей.

В координатах Шварцшильда в модели $\lambda \psi^4$ статические состояния черной дыры определяются дву-

мя свободными параметрами. Один из них λ характеризует упругость конденсата. λ однозначно задает плотность конденсата в центре и внутренний гравитационный радиус r_g . Внутри сферы $r < r_g$ уравнением состояния конденсата является

$$p = -\varepsilon/3,\tag{6}$$

а плотность энергии ε и метрическая компонента g^{00} не зависят от r. Второй свободный параметр обеспечивает существование регулярного статического решения с произвольной массой M в диапазоне $M_{cr} < M < \infty$ [25].

2. В СИНХРОННОЙ СИСТЕМЕ КООРДИНАТ

Система отсчета, в которой $g_{00}=1,\ g_{0\alpha}=0,$ называется синхронной ([22], §97). В этом параграфе показано, что, с одной стороны, перейти к синхронной системе отсчета можно в любом пространствевремени. С другой стороны, утверждается, что заполняющая пространство материя не может, вообще говоря, покоиться относительно синхронной системы отсчета. Исключение может иметь место лишь в частных случаях. Это утверждение основано на том, что в синхронной системе отсчета в статике компонента тензора Риччи $R_0^0=0,$ а выражение в правой стороне уравнения Эйнштейна

$$R_0^0 = \kappa \left(T_0^0 - T/2 \right) = \kappa \left(\varepsilon + 3p \right) / 2 \tag{7}$$

при любом распределении материи положительно. Обратим внимание, что давление p положительно, когда материя стремится к расширению, и отрицательно, когда материя стремится к сжатию. С точки зрения, изложенной в [22], §97, состояние конденсата, сжатого до ультрарелятивистского предела (6) собственным гравитационным полем, можно рассматривать как "исключение в частном случае".

Еще со времен Эддингтона [26] и Лемэтра [27] известно, что гравитационный радиус r_g , на котором в метрике Шварцшильда компонента $g^{rr}\left(r_g\right)=0$, не является физической особенностью. В задаче 4 к §100 в [22] приведено преобразование метрики Шварцшильда (2) к конформно-евклидовому виду. Не единственность решения системы уравнений Эйнштейна и Клейна–Гордона с граничными условиями именно на гравитационных радиусах $r=r_g$ и $r=r_h$, где $g^{rr}\left(r\right)=0$ является особенностью метрики Шварцшильда [25]. В конформно-евклидовом виде $g^{rr}\left(r\right)$ в нуль не обращается.

В синхронной системе отсчета статическая сферически симметричная метрика

$$ds^{2} = (dx^{0})^{2} - e^{2F_{1}(r)}dr^{2} - e^{2F_{2}(r)}(d\theta^{2} + \sin^{2}\theta d\varphi^{2})$$
(8)

содержит две функции $F_1(r)$ и $F_2(r)$, зависящие от одной координаты r, при этом

$$\int_{0}^{r} e^{F_1(r)} dr$$

— расстояние от центра. В отличие от метрики Шварцшильда (1), длина центральной окружности равна не $2\pi r$, а $2\pi e^{F_2(r)}$. В синхронной системе отсчета важную роль играют радиусы $r=r_g$ и $r=r_h$, с граничными условиями на которых решения системы уравнений Эйнштейна и Клейна–Гордона не являются единственными. Однако теперь компонента $g^{11}(r)$ не обращается в нуль на сферах $r=r_g$ и $r=r_h$. Поэтому, как это привычно всем, в метрике (8) я могу использовать экспоненциальные представления

$$g_{11}(r) = -e^{2F_1(r)}, \ g_{22}(r) = -e^{2F_2(r)}.$$

Подстановкой

$$dx = e^{F_1(r)}dr$$
, $x(r) = \int_{r_0}^{r} e^{F_1(r)}dr$, $F_2(r) = F_2(x(r))$
(9)

метрика (8) приводится к виду, содержащему всего одну функцию $F_{2}\left(x\right) :$

$$ds^{2} = (dx^{0})^{2} - dx^{2} - e^{2F_{2}(x)} (d\theta^{2} + \sin^{2}\theta d\varphi^{2}).$$
 (10)

В метрике (10) координата x является истинным расстоянием от центра. Тензор Риччи диагональный:

$$R_0^0 = 0,$$

$$R_1^1 = 2 \left(F_2^{\prime 2} + F_2^{\prime \prime} \right),$$

$$R_2^2 = R_3^3 = 2F_2^{\prime 2} + F_2^{\prime \prime} - e^{-2F_2}.$$
(11)

В независящем от времени гравитационном поле энергия является интегралом движения. Волновая функция конденсата бозонов в состоянии с определенной энергией E на частицу

$$\psi_{E}\left(x^{0},x\right) = e^{iEx^{0}/\hbar c}\psi\left(x\right)$$

удовлетворяет уравнению Клейна-Гордона

$$\frac{1}{\sqrt{-\det g_{ik}}} \left(\sqrt{-\det g_{ik}} g^{lm} \psi_{,l} \right)_{;m} = -\frac{\partial U}{\partial |\psi|^2} \psi.$$

Радиальная часть $\psi\left(x\right)$ волновой функции $\psi_{E}\left(x^{0},x\right)$ подчиняется уравнению

$$\psi'' + 2F_2'\psi' = \left[\left(\frac{mc}{\hbar} \right)^2 + \lambda \left| \psi \right|^2 - \left(\frac{E}{\hbar c} \right)^2 \right] \psi. \quad (12)$$

В отличие от метрики Шварцшильда, в этом уравнении коэффициент при старшей производной (равный единице) нигде не обращается в нуль.

Лагранжиан скалярного поля

$$L = g^{ik} \psi_{,i}^* \psi_{,k} - U \left(\psi^* \psi \right)$$

не зависит от производных метрического тензора g_{ik} . Тензор энергии-импульса конденсата легко вычисляется по формуле

$$T_{ik} = -g_{ik}L + 2\partial L/\partial g_{ik}$$
.

Получим

$$\begin{split} T_0^0 &= \left(\frac{E^2 + m^2 c^4}{\left(\hbar c\right)^2} + \frac{1}{2}\lambda \left|\psi\right|^2\right) \left|\psi\right|^2 + \left|\psi'\right|^2, \\ T_1^1 &= \left(-\frac{E^2 - m^2 c^4}{\left(\hbar c\right)^2} + \frac{1}{2}\lambda \left|\psi\right|^2\right) \left|\psi\right|^2 - \left|\psi'\right|^2, \\ T_2^2 &= T_3^3 = \left(-\frac{E^2 - m^2 c^4}{\left(\hbar c\right)^2} + \frac{1}{2}\lambda \left|\psi\right|^2\right) \left|\psi\right|^2 + \left|\psi'\right|^2. \end{split}$$

В синхронной системе отсчета $R_0^0=0$ (11). Поэтому удобно работать с уравнениями Эйнштейна в представлении

$$R_k^i = \kappa \left(T_k^i - \frac{1}{2} \delta_k^i T \right), \quad \kappa = \frac{8\pi}{c^4} k,$$
 (13)

 $k=6.67\cdot 10^{-8}\,{\rm cm}^3/({\rm r}\cdot{\rm c}^2)$ — гравитационная постоянная. Поскольку $R_0^0=0$ (11), из уравнения (13) следует:

$$T_0^0 - \frac{1}{2}T = \left(\frac{2E^2 - m^2c^4}{(\hbar c)^2} - \frac{1}{2}\lambda |\psi|^2\right) |\psi|^2 = 0.$$
 (14)

В формуле (14) E^2 , λ и m^2c^4 постоянные величины. Поэтому волновая функция конденсата ψ тоже является константой:

$$\psi = \text{const}, \quad \psi' = 0.$$
 (15)

Из соотношений (12) и (14) с учетом (15) определяется энергия бозона E в связанном основном состоянии и баланс упругости Λ с плотностью $\left|\psi\right|^2$ конденсата:

$$E^{2} = \frac{1}{3}m^{2}c^{4}, \quad \Lambda |\psi|^{2} = -\frac{2}{3}.$$
 (16)

 $\Lambda = (\hbar/mc)^2 \lambda$ — параметр, характеризующий упругость конденсата в модели $\lambda \psi^4$. С учетом (16), тензор энергии-импульса конденсата

$$T_0^0 \equiv \varepsilon = \left(\frac{mc}{\hbar}\right)^2 |\psi|^2,$$

$$T_k^i \equiv -\delta_k^i p = \frac{1}{3} \left(\frac{mc}{\hbar}\right)^2 |\psi|^2, \quad i > 0,$$
(17)

соответствует уравнению состояния $p = -\varepsilon/3$ материи, сжатой ее собственным гравитационным полем до ультрарелятивистского предела. Уравнения Эйнштейна (13) с тензором Риччи (11) и тензором энергии-импульса (17)

$$2(F_2'^2 + F_2'') = -2\kappa |p|, \qquad (18)$$

$$2F_2^{\prime 2} + F_2^{\prime \prime} - e^{-2F_2} = -2\kappa |p| \tag{19}$$

определяют метрическую функцию $F_2(x)$. Эти уравнения не независимы. Исключаем F_2'' , а также вычитаем (19) из (18). Получаем

$$F_2^{\prime 2} - e^{-2F_2} = -\kappa |p|, \qquad (20)$$

$$F_2'' + e^{-2F_2} = 0. (21)$$

Поскольку $\psi = \text{const}$ (15), плотность энергии ε и давление p (17) тоже константы. Так что уравнение (21) — это продифференцированное уравнение (20).

Умножением на e^{2F_2} уравнение (20) приводится к виду

$$\frac{de^{F_2}}{dx} = \sqrt{1 - \kappa |p| (e^{F_2})^2}.$$
 (22)

Частная производная

$$\frac{\partial \sqrt{1 - \kappa \left| p \right| \left(e^{F_2} \right)^2}}{\partial e^{F_2}}$$

терпит разрыв при $e^{F_2} = (\kappa |p|)^{-1/2}$. Согласно теореме существования и единственности (см. [28], §3) $e^{F_2} = (\kappa |p|)^{-1/2}$ является решением уравнения (22). Но оно не единственное:

$$e^{F_2} = \frac{1}{\sqrt{\kappa |p|}} \sin\left(\sqrt{\kappa |p|} (x - x_0)\right)$$

тоже является решением уравнения (22), здесь x_0 — константа интегрирования. Компоненте $g_{22}\left(x\right)=-e^{2F_2\left(x\right)}$ метрики (10) присущи два решения: независящая от x константа

$$g_{22}(x) = -(\kappa |p|)^{-1}$$

и осциллирующая функция

$$g_{22}(x) = -(\kappa |p|)^{-1} \sin^2(\sqrt{\kappa |p|}(x - x_0)),$$

которые периодически совпадают при

$$x = x_0 + (\kappa |p|)^{-1/2} \pi (n + 1/2), \quad n = 0, 1, 2, ...$$

В соответствии с (9), в общем решении для метрики (8) осциллирующее решение

$$g_{22}(r) = -(\kappa |p|)^{-1} \sin^2 \left(\sqrt{\kappa |p|} \int_{r_0}^r e^{F_1(x)} dx \right)$$
 (23)

содержит произвольную функцию $F_1(x)$, r_0 – константа интегрирования. При $-p = \varepsilon/3 \to 0$ (в вакууме) решение (23) устанавливает в метрике

$$ds^{2} = (dx^{0})^{2} + g_{11}(r) dr^{2} + g_{22}(r) (d\theta^{2} + \sin^{2}\theta d\varphi^{2})$$

связь $g_{11}(r)$ с $g_{22}(r)$:

$$g_{11} = \frac{1}{4} \frac{(g'_{22})^2}{g_{22}}, \quad g_{22}(r) = -\left(\int_{r_0}^r \sqrt{-g_{11}(x)} dx\right)^2.$$

Одна из этих двух функций произвольная.

Как и в координатах Шварцшильда, условием регулярности в центре является $g_{11}\left(0\right)=-1$. Из формулы (23) видно, что при этом условии $g_{22}\left(r\right)\rightarrow-r^{2}$ при $r\rightarrow0$, и отношение длины окружности к радиусу стремится к 2π .

В конкретном случае $F_{1}\left(x\right)=0$ решением, регулярным в центре, является

$$g_{22}(r) = -e^{2F_2(r)} = -\frac{1}{\kappa |p|} \sin^2\left(\sqrt{\kappa |p|}r\right).$$
 (24)

Оно является единственным только в интервале $0 \le r < r_q$. Здесь

$$r_g = \frac{\pi}{2\sqrt{\kappa |p|}} \tag{25}$$

— внутренний гравитационный радиус. В области $r>r_g$ уравнению (22) с граничным условием $e^{2F_2(r_g)}=1/\kappa\,|p|$ удовлетворяют оба решения,

$$g_{22}(r) = -\frac{1}{\kappa |p|} \sin^2\left(\sqrt{\kappa |p|}r\right)$$

и

$$g_{22}\left(r\right) = -\frac{1}{\kappa \left|p\right|}.$$

Решение в синхронной системе отсчета

$$g_{22}\left(r\right) = -e^{2F_{2}\left(r\right)} = \begin{cases} -\frac{1}{\kappa|p|} \sin^{2}\left(\sqrt{\kappa|p|}r\right), & r < r_{g}, \\ -\frac{1}{\kappa|p|}, & r \ge r_{g}, \end{cases}$$
(26)

— это то же аналитическое решение, что и формула (41) в [24] в координатах Шварцшильда. В этом можно убедиться, положив в формуле (23) $g_{22}\left(r\right)=-r^2$ и разрешить это уравнение относительно $e^{F_1(x)}$. Получится

$$g^{11}(x) = -e^{-2F_1(x)} = -1 + \frac{\kappa \varepsilon}{3}x^2,$$

как в формуле (41) в [24] (с точностью до обозначений).

И в метрике Шварцшильда, и в синхронной метрике, внутренний гравитационный радиус r_g — это граница центральной области, в которой решение является единственным и независящим от массы всего конденсата. В области $r>r_g$ решение с граничным условием $g_{22}\left(r_g\right)=\left(\kappa\left|p\right|\right)^{-1}$ не является единственным. Эта неоднозначность позволяет выбрать решение, соответствующее данной массе конденсата. Разница состоит в том, что в координатах Шварцшильда в точках ветвления r_g и r_h метрическая компонента $g^{11}\left(r\right)=0$, а в синхронной системе отсчета (10) $g^{11}\left(r\right)=-1$ и нигде в нуль не обращается.

В метрике

$$ds^{2} = (dx^{0})^{2} - dr^{2} + g_{22}(r) (d\theta^{2} + \sin^{2}\theta d\varphi^{2})$$

корень детерминанта $\sqrt{-\det g_{ik}} = |g_{22}(r)| \sin \theta$. Полная масса внутри сферы радиуса r получается интегрированием компоненты $T_0^0 \equiv \varepsilon$:

$$M(r) = \frac{1}{c^2} \int_{0}^{2\pi} d\varphi \int_{0}^{\pi} \sin\theta d\theta \int_{0}^{r} T_0^0(r) |g_{22}(r)| dr. \quad (27)$$

Согласно (26) интегрирование (27) в области $r < r_g$ дает

$$M(r) = \frac{2\varepsilon}{c^2} \left(\pi r - r_g \sin \frac{\pi r}{r_g} \right), \quad r \le r_g.$$

При $r = r_g$ $M(r_g) = \frac{3c^2}{4k}r_g$. В области $r > r_g$

$$M(r) = \frac{3c^2}{2k} \left(r - \frac{1}{2} r_g \right), \quad r > r_g.$$
 (28)

Энергия E одной частицы в конденсате (16) меньше энергии покоя той же частицы в вакууме. Структура статического состояния гравитирующих бозонов в конденсате отличается от невзаимодействующих частиц в вакууме. В модели $\lambda\psi^4$ упругие столкновения частиц происходят без диссипации. В этой модели видно, что треть полной энергии расходуется на создание связанного состояния бозонов. Вторая треть обеспечивает баланс плотности и

упругости. И только одна треть исходной массы покоя остается источником гравитационного поля вне конденсата. Если граница конденсата $r_h\gg r_g$, то полная масса черной дыры (28) втрое превосходит формулу Шварцшильда $M=\frac{e^2}{2k}r_h$. Таков энергетический расклад гравитационного дефекта массы черной дыры в модели $\lambda\psi^4$.

3. ТЕМНАЯ МАТЕРИЯ В СИНХРОННЫХ КООРДИНАТАХ

Сфера $r=r_h$ это граница, разделяющая черную дыру и темную материю. Проявления темного сектора (например, плато на кривых вращения галактик [23]) адекватно описываются с помощью продольного векторного поля ϕ_i [29]. Лагранжианом поля ϕ_i является

$$L = \left(\phi_{\cdot m}^{m}\right)^{2} - V\left(\phi^{n}\phi_{n}\right). \tag{29}$$

Для гравитирующих, но не взаимодействующих друг с другом объектов темного сектора потенциал

$$V(\phi^n \phi_n) = V_0 + V_0' \phi^n \phi_n$$
, $V_0' = \frac{dV(x)}{dx}$ при $x = 0$.

В уравнениях Эйнштейна V_0 является простой добавкой к космологической постоянной (формула (62) в [29]). Это проявляется в однородном расширении Вселенной в масштабах, много больших чем расстояния между галактиками. В масштабе черной дыры расширение Вселенной ничтожно. Поэтому тензор энергии-импульса темной материи

$$T_i^k = \delta_i^k \left(\left(\phi_{;m}^m \right)^2 - V_0' \phi^m \phi_m \right) + 2V_0' \phi^k \phi_i.$$
 (30)

В отличии от (3)

$$V_0' = -\left(\frac{\mu c}{\hbar}\right)^2 = -\dot{\lambda}^{-2},$$

где λ — длина волны де-Бройля квантов темной материи. Масса покоя кванта темной материи μ на много порядков меньше массы покоя бозонов m. Вне черной дыры правая часть уравнений Эйнштейна (13), в соответствии с (30), имеет вид

$$T_i^k - \frac{1}{2}T\delta_i^k = \begin{cases} -\left(\phi_{:m}^m\right)^2 - V_0'(\phi^r)^2, & i = r, \\ -\left(\phi_{:m}^m\right)^2, & i \neq r. \end{cases}$$
(31)

С тензором Риччи (11) и тензором (31) уравнения Эйнштейна вне черной дыры $r > r_h$ сводятся к

$$R_0^0: \quad \phi_{:m}^m = (\phi^r)' + 2F_2'\phi^r = 0,$$
 (32)

$$R_1^1: F_2^{\prime 2} + F_2^{\prime \prime} = -\kappa V_0^{\prime}(\phi^r)^2,$$
 (33)

$$R_2^2: 2F_2^{\prime 2} + F_2^{\prime \prime} - e^{-2F_2} = 0.$$
 (34)

Из уравнения (32) получаем

$$\phi^r(r) = Ce^{-2F_2(r)},$$

где С — константа интегрирования. Исключая из (33) и (34) $F_2^{\prime\prime}$, приходим к уравнению

$$F_2^{\prime 2} = e^{-2F_2} + \kappa V_0^{\prime} C^2 e^{-4F_2}.$$

Умножением на e^{4F_2} приводим это уравнение к виду

$$\frac{1}{4} \left(\frac{de^{2F_2}}{dr} \right)^2 = e^{2F_2} + \kappa V_0' C^2$$

и определяем метрическую компоненту $g_{22}\left(r\right)$ в синхронной системе отсчета:

$$g_{22}(r) = -e^{2F_2} = \kappa V_0' C^2 - (r+D)^2, \quad r > r_h.$$
 (35)

От лагранжиана темной материи (29) требуется, чтобы константа V_0' была отрицательной. Заметим, что $V_0' < 0$ является также условием регулярности в центре (формула (39) в [29]). Две константы интегрирования $C^2 = -\left(\kappa^2 \left|p\right| V_0'\right)^{-1}$ и $D = -r_h$ в (35) обеспечивают плавный переход гравитационного поля через границу черной дыры и темной материи:

$$g_{22}(r) = \begin{cases} -\frac{1}{\kappa|p|} \sin^2\left(\sqrt{\kappa|p|}r\right), & r < r_g, \\ -\frac{1}{\kappa|p|}, & r_g < r < r_h, \\ -\frac{1}{\kappa|p|} - (r - r_h)^2, & r > r_h. \end{cases}$$
(36)

Связь (25) позволяет выразить $g_{22}\left(r\right)$ через гравитационные радиусы r_{q} и r_{h} :

$$g_{22}(r) = \begin{cases} -\frac{4}{\pi^2} r_g^2 \sin^2\left(\frac{\pi}{2} \frac{r}{r_g}\right), & r < r_g, \\ -\frac{4}{\pi^2} r_g^2, & r_g < r < r_h, \\ -\frac{4}{\pi^2} r_g^2 - (r - r_h)^2, & r > r_h. \end{cases}$$
(37)

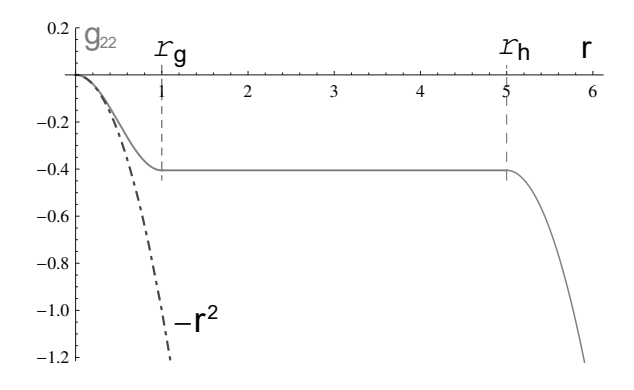


Рис. 1. Компонента метрического тензора $g_{22}\left(r\right)$ в синхронной системе координат (37) (сплошная красная линия). Параметры $r_g=1$ и $r_h=5$ выбраны для наглядности. В реальности r_h на много порядков больше r_g . Пунктирная линия — это $g_{22}\left(r\right)=-r^2$ в координатах Шварцшильда (2)

На рисунке приведена компонента метрического тензора $g_{22}\left(r\right)$ (37) в синхронной системе координат (для ясности показано красной сплошной линией). Параметры $r_g=1$ и $r_h=5$ выбраны для наглядности. В действительности гравитационные радиусы черных дыр r_h и r_g один больше другого на много порядков.

Волновая функция темной материи

$$\phi^{r}\left(r\right) = \frac{2}{\pi} \frac{\lambda r_{g}}{\kappa} \left[\left(\frac{2r_{g}}{\pi}\right)^{2} + \left(r - r_{h}\right)^{2} \right]^{-1}, \quad r \geq r_{h}$$

быстро убывает с расстоянием от черной дыры.

Исторически название радиуса поверхности черной дыры r_h горизонтом событий связано с тем, что в координатах Шварцшильда компонента метрического тензора g^{rr} (r_h) = 0. Тот факт, что g^{rr} обращается в нуль на тех же радиусах r_g и r_h , (с граничными условиями на которых решения уравнений не единственные), является исключительно свойством метрики Шварцшильда. В синхронных координатах g^{rr} на этих гравитационных радиусах остается конечным. Я не вижу оснований считать, что для удаленного наблюдателя интерфейс черной дыры и темной материи r_h является горизонтом событий.

Глобальный проект сети телескопов под названием The Event Horizon Telescope (Телескоп горизонта событий) фактически нацелен на исследование области границы раздела черной дыры и темной материи. Привлекает внимание возможность увидеть не только фасад, но и обратную сторону черной дыры особым путем гравитационного линзирования (см. [30] и приведенные там ссылки). Регулярное статическое решение для черной дыры с массой сильно больше массы Солнца найдено только при наличии границы с темной материей, а не в вакууме [24]. На мой взгляд, при гравитационном линзировании черной дыры удобно исходить из статической синхронной метрики с компонентой $g_{22}(r)$ (37):

$$ds^{2} = (dx^{0})^{2} - dr^{2} - \left(\frac{4}{\pi^{2}}r_{g}^{2} + (r - r_{h})^{2}\right) \times \left(d\theta^{2} + \sin^{2}\theta d\varphi^{2}\right), \quad r > r_{h}. \quad (38)$$

Вопрос о движении материи в метрике (38) выходит за рамки этой статьи.

ЛИТЕРАТУРА

 K. Schwarzschild, Uber das Gravitationsfeld eines Massenpunktes nach der Einsteinschen Theorie; Sitzungsberichte der Koniglich Preuischen

- Academie der Wissenschaften: Berlin, Germany, 1916; pp. 189–196.
- 2. Einstein, A. Die Grundlage der allgemeinen Relativitatstheorie. Ann. Phys. 1916, 49, 769–822.
- 3. M. D. Kruskal, Phys. Rev. 119, 1743 (1960).
- 4. G. Szekers, Publ. Mat. Debrecen 7, 285 (1960).
- 5. I. D. Novikov, On the Evolution of a Semiclosed World, Doctoral dissertation, Shternberg Astronomical Institute, Moscow (1963).
- 6. S. Chandrasekhar, Astrophys. J. 74, 81 (1931).
- 7. L. D. Landau, Phys. Zs. Sowjet. 1, 285 (1932).
- 8. J. R. Oppenheimer and G. Volkoff, Phys. Rev. **55**, 374 (1939).
- **9**. J. R. Oppenheimer and H. Snyder, Phys. Rev. **56**, 455 (1939).
- S. Gillessen, F. Eisenhauer, S. Trippe, T. Alexander, R. Genzel, F. Martins, and T. Ott, Astrophys. J. 692, 1075 (2009).
- **11**. Л.Д. Ландау, Е.М. Лифшиц, *Статистическая* физика. Часть 1, Москва, Наука-физматлит (1995).
- 12. https://en.wikipedia.org/wiki/Standard Model.
- 13. L. N. Cooper, Phys. Rev. 104, 1189 (1956).
- **14**. Л.Д. Ландау, Е.М. Лифшиц, *Статистическая* физика. Часть 2, Москва, Физматлит (2000).
- G. Baym, T. Hatsuda, T. Kojo, P. D. Powell,
 Y. Song, and T. Takatsuka, arXiv:1707.04966v1 (2018).
- M. Colpi, S.L. Shapiro, and I. Wasserman, Phys. Rev. Lett. 57, 2485 (1986).
- R. Friedberg, T. D. Lee, and Y. Pang, Phys. Rev. D 35, 3640 (1987).
- 18. D. J. Kaup, Phys. Rev. 172, 1331 (1968).
- **19**. D. F. Torres, S. Capozziello, and G. Lambiase, Phys. Rev. D **62**, 104012 (2000).
- **20**. Б. Э. Мейерович, ЖЭТФ **154**, 1000 (2018).
- **21**. B. E. Meierovich, Universe **5**, 198 (2019).
- **22**. Л.Д. Ландау, Е.М. Лифшиц, *Теория поля*, Наука, Москва (1973).

- . B. E. Meierovich, Phys. Rev. D Part. Fields Gravit. Cosmol. **87**, 103510 (2013).
- . B. E. Meierovich, Universe **6**, 113 (2020).
- . B. E. Meierovich, J. Phys.:Conf. Ser. **2081**, 012026 (2021).
- 26. A. S. Eddington, Nature 113, 192 (1924).
- . G. Lemaitre, Ann.Soc.Sci. Bruxelles I. **A53**, 51 (1933).
- . Л. С. Понтрягин, Обыкновенные дифференциальные уравнения, Физматлит, Москва (1961).
- . B. E. Meierovich, J.of Gravity **2014**, 568958 (2014).
- . В.И. Докучаев, Н. О. Назарова, ЖЭТФ, **155**, 677 (2019).